

УДК 615.9:615.275+547.6

Н. А. Кутузова¹, М. О. Шибінська², С. А. Ляхов^{1, 2}¹ Одеський національний університет імені І. І. Мечникова,

вул. Дворянська, 2, Одеса, 65026, Україна

² Фізико-хімічний інститут ім. О. В. Богатського НАН України,

Люстдорфська дорога, 86, Одеса, 65080, Україна

СИНТЕЗ НОВИХ АМИНОЕТИЛІНДОЛОХІНОКСАЛІНІВ, ЇХ ГОСТРА ТОКСИЧНІСТЬ ТА SAR

Синтезовані нові похідні 6-аміноетиліндолохіноксаліну, досліджені їх гостра токсичність та зв'язок «структура — властивості». Представлені результати дослідження гострої токсичності та розрахованих значень ліпофільноти нових сполук підтвердили встановлену раніше зворотно пропорційну залежність гострої токсичності сполук від їх ліпофільноти.

Ключові слова: індолохіноксаліни, противірусні агенти, індуктори інтерферону, ліпофільність, гостра токсичність.

Раніше були синтезовані похідні 6-аміноетил-6Н-індоло[2,3-*b*]хі-ноксаліну 1—12, які виявились ефективними противірусними агентами та індукторами інтерферону [1]. Крім того показано [2], що їх гостра токсичність лінійно пов'язана (рис. 1) з ліпофільністю рівнянням

$$-\lg(LD_{50}) = 4.38 (\pm 0.5) - 0.37 (\pm 0.12) \times C \log P,$$

причому між цими властивостями спостерігається значуча кореляція ($r = -0.93$; $F = 51.75$; $P < 0.01$).

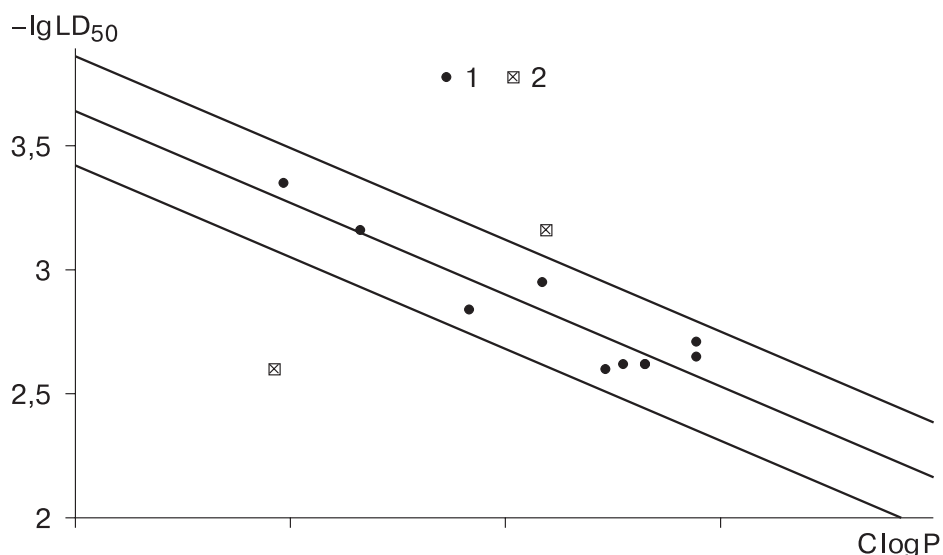
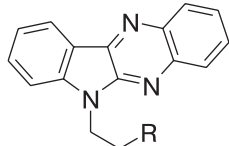


Рис. 1. Залежність гострої токсичності від ліпофільноти синтезованих похідних 6-аміноетил-6Н-індоло[2,3-*b*]хіноксаліну 1—12 [1] (1 — сполуки, за якими проводилася регресія; 2 — сполуки, які не ввійшли до регресії)

Але відносно невеликий розмір вибірки (12 сполук) та наявність двох сполук (7 та 12), що випадають з виявленої залежності (позначені пустими кружками), обумовили доцільність перевірки побудованої моделі. Таким чином, метою даної роботи став синтез нових похідних 6-аміноетиліндолохіноксаліну 13—19 (табл. 1), що розширяють та доповнюють дослідженій раніше ряд сполук 1—12 за значенням ClogP [3, 4], дослідження їх гострої токсичності та зв'язку «структуро-токсичність».



R =							
Сполука	1	2	3	4	5	6	
ClogP	3.33	4.17	4.89	4.47	4.89	3.83	
R =							
Сполука	7	8	9	10	11	12	
ClogP	4.19	4.65	4.65	4.55	2.97	2.92	

Таблиця 1

Структура та розрахункові значення ClogP нових похідних 6-аміноетиліндохіноксаліну

R =							
Сполука	13	14	15	16	17	18	19
ClogP	3.09	2.38	2.62	1.91	2.95	4.70	4.94

Синтез 6-аміноетил[2,3-*b*]індолохіноксалінів

Синтез цільових сполук здійснювали за відпрацьованим раніше методом [1].

Алкілованням ізатину (20) 20-кратним надлишком дібромуетану у середовищі ДМФА при кімнатній температурі у присутності карбонату калію отримували бромоетилізатин (21) з виходом 80 %, подальша конденсація продукту 21 з о-фенілендіаміном при кип'ятінні в крижаній оцтовій кислоті призводила до 6-бromoethylindole-2,3-dione (22) з виходом 78 % (рис. 2).

Синтез нових аміноетиліндолохіноксалінів, їх гостра токсичність та SAR

Цільові сполуки 14—18 отримували амінодебромуванням 22 дією відповідних амінів при кип'ятінні в бензолі. На відміну від них, сполуку 13 отримували при кімнатній температурі у середовищі диметилформаміду. Виходи цільових продуктів складали 70—80 % (рис. 2).

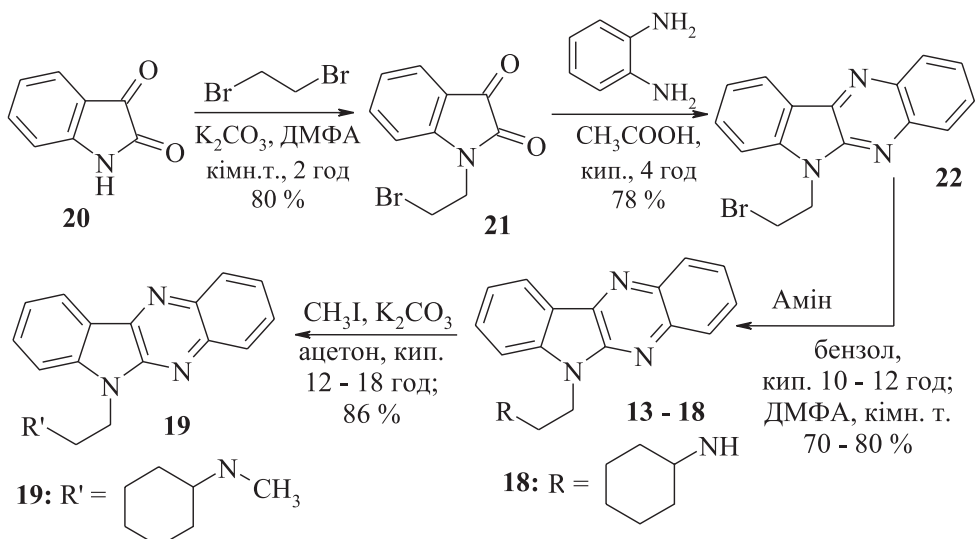


Рис. 2. Синтез 6-аміноетил[2,3-b]індолохіноксалінів

Сполуку 19 отримували алкілюванням сполуки 18 дією еквімольної кількості йодистого метилу при кип'ятінні в ацетоні в присутності надлишку карбонату калію.

Чистоту всіх синтезованих сполук контролювали методом тонкошарової хроматографії на пластинах Sorbfil ПТСХ-АФ-А-УФ в елюентах різного складу. Доказ структури сполук 13—22 здійснювали методами мас-спектрометрії та спектроскопії ПМР.

У мас-спектрах сполук 13—19 з іонізацією методом бомбардування швидкими атомами (БША) для всіх сполук присутні інтенсивні піки молекулярних іонів (MH^+). Серед осколкових іонів присутні піки фрагментів $[\text{R}=\text{CH}_2]^+$ та піки з $m/z = 220$, $m/z = 232$ та $m/z = 246$. У мас-спектрах сполук 21 та 22 присутні сигнали з $m/z = \text{MH}^+ + 1$ та $\text{MH}^+ - 1$ у співвідношенні 1:1, що підтверджує наявність брому.

У спектрах ПМР синтезованих сполук 13—22 присутні сигнали протонів аліфатичної та ароматичної частин молекул. Форма сигналів та співвідношення інтегральних інтенсивностей відповідають приписуваним структурам.

Дослідження гострої токсичності

Для експериментів використовували білих безпородних мишей, яких отримували з віварію при ОДМУ. Маса тварин складала 19,5—29,5 г. Гідрохлориди досліджених сполук 13—19 вводили внутрішньочеревно у вигляді суспензії у твіні, враховуючи їх низьку розчинність у воді.

Токсичність, як і на попередньому етапі [2], вивчали за методом Дічмана та Ле Бланка [5] — одного з тих, що рекомендовані для попередньої

оцінки токсичності на стадії скринінгових досліджень [6]. Отримані дані з токсичності на мишах для синтезованих сполук 13—19 та досліджених раніше сполук 1—12 [2] наведені у табл. 2. Значення параметру ClogP для синтезованих сполук розраховували за допомогою ресурсу, що надається безкоштовно сайтом [7] (табл. 2). В цілому, як за гострою токсичністю, так і за ліпофільністю нові сполуки 13—19 зіставні з раніше дослідженіми 1—12 (різниця між групами за методом Мана—Уітні є незначуючою — за токсичністю $P < 0.1$, за ліпофільністю $P < 0.20$).

Таблиця 2

Гостра токсичність досліджених раніше (1—12) та синтезованих сполук (13—19)

Сполука	LD ₅₀ , мг/кг *	LD ₅₀ , мімоль/кг	—lg LD ₅₀ , М	ClogP
1	250	690	3.16	3.33
2	437	1120	2.95	4.17
3	937	2230	2.65	4.89
4	> 1000	> 2470	2.60	4.47
5	812.5	1940	2.71	4.89
6	562.5	1450	2.84	3.83
7	687.5	1700	3.16	4.19
8	> 1000	> 2400	2.62	4.65
9	> 1000	> 2400	2.62	4.65
10	> 1000	> 2400	2.62	4.55
11	187.5	450	3.35	2.97
12	> 1000	> 2470	2.60	2.92
13	285.7	817	3.09	3.09
14	238.8	630	3.20	2.38
15	228.3	580	3.24	2.62
16	456.3	1077	2.97	1.91
17	464.3	1028	2.98	2.95
18	461.5	1105	2.96	4.70
19	1000	2312	2.64	4.94

* Довірчий інтервал складає ± 30 мг/кг.

Як випливає з наведених даних після розширення вибірки з 1—12 (за винятком сполук 7 та 12) за рахунок сполук 13—19 (за винятком сполук 16 та 18) параметри апроксимації (вільний залишок a та нахил b) у рівнянні

$$-\lg(\text{LD}_{50}) = 3.93 (\pm 0.3) - 0.27 (\pm 0.07) \times \text{ClogP}$$

змінилися (табл. 3) менше за довірчий інтервал (ϵ) для відповідних параметрів (причому кореляція залишилася майже незмінною $r = -0.92$;

$F = 67.86$; $P < 0.01$), що вказує на робасність та правомірність запропонованої раніше моделі. Таким чином, можна припустити, що гостра токсичність похідних 6-аміноетил-6Н-індоло[2,3-*b*]-хіноксалінів зменшується із збільшенням їх ліпофільноти. Цей факт дозволяє припустити, що гостра токсичність аміноалкіліндолохіноксалінів не пов'язана з їх дією на ЦНС, або, принаймні, цей механізм не є значущим з урахуванням того, що збільшення ліпофільноти сполук призводить до підвищення їх здатності проникати через ГЕБ [8, 9].

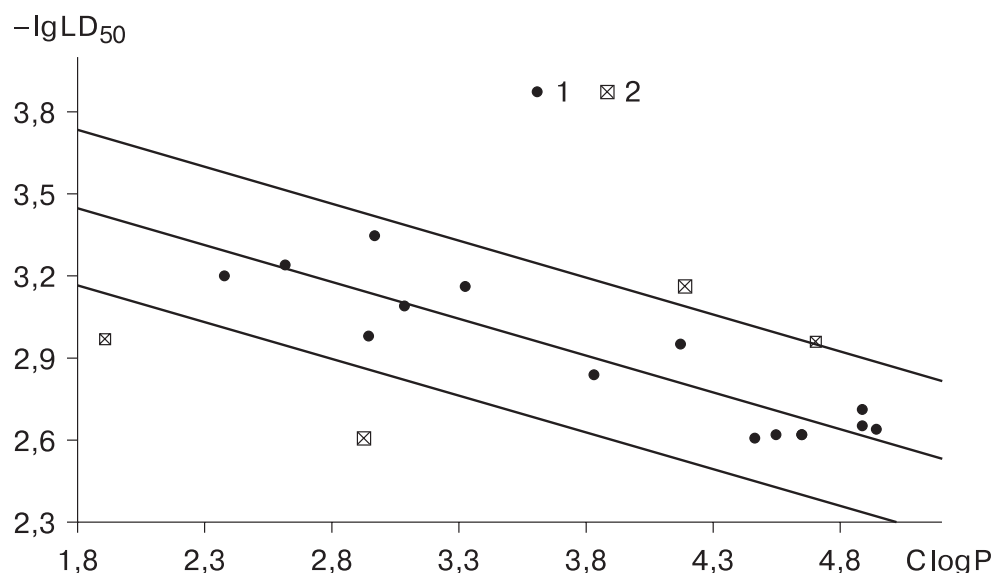


Рис. 3. Залежність гострої токсичності від ліпофільноти за всією сукупністю досліджених похідних 6-аміноетил-6Н-індоло[2,3-*b*]-хіноксаліну 1—12 та 13—19 (1 — сполуки, що ввійшли до регресії, 2 — сполуки, що не ввійшли до регресії)

Таблиця 3

Порівняння параметрів лінійної апроксимації залежності гострої токсичності від ліпофільноти сполук для «навчальної» та сукупної вибірок

Вибірка	a	$ \Delta a $	ε	b	$ \Delta b $	ε	F	$P <$
1—12	4.38	0.45	± 0.5	-0.37	0.1	± 0.12	51.75	0.01
1—19	3.93		± 0.3	-0.27		± 0.07	67.86	0.01

Наявність пар значень, що випадають, не має розгляматися як недолік моделі, що позбавляє її значущості, а можливо, вказують на реалізацію у випадку сполук 7, 12, 16 та 18 іншого (додаткового) механізму дії [10].

Експериментальна частина

Спектри ^1H ЯМР реєстрували в розчинах CDCl_3 відносно ТМС на приборах «Varian VXR-300» (300 МГц), мас-спектри з іонізацією методом БША на спектрометрі VG 70-70 EQ, іонізація здійснювалася пучком ато-

мів аргону з енергією 10 кВ (речовини розчиняли у 3-нітробензиловому спирті).

Для контролю чистоти синтезованих речовин використовували метод ТШХ на пластинках «Sorbfil ПТСХ-АФ-А-УФ».

1-(2-Бромоетил)-1Н-індол-2,3-діон (21). До розчину 10 г (0.068 моль) індол-2,3-діону (20) в диметилформаміді додають 33.5 г (0.17 моль) карбонату калію та 117.2 см³ (255.5 г, 1.36 моль) дібромоетану. Хід реакції контролюють за ТШХ. Після закінчення реакції неорганічний осад відфільтровують, на фільтрі промивають ДМФА 3 × 5 см³. Фільтрат випаровують, кубовий залишок промивають на фільтрі водою 5 × 50 см³. Отриманий неочищений продукт висушують та перекристалізовують з етанолу. Вихід: 80 % (13.8 г). C₁₀H₈BrNO₂; M.W. 254.08. T_{пл.} = 132.8 – 133.4 °C. R_f 0.43 (бензол — триетиламін 10:1), R_f 0.63 (хлороформ — ацетон 10:1). Mac-спектр — m/z (I, %): 256 (95), 254 (100) — M⁺; 146 (100); 132 (40); 90 (7); 77 (10). Спектр ПМР: аліфатичні СН т. 2.651 м. ч., 6.4 Гц (2H, BrCH₂CH₂N); т. 3.802 м. ч., 6.4 Гц (2H, BrCH₂CH₂N); ароматичні СН т. 7.187 м. ч., 7.5 Гц (1H); д. 7.303 м. ч., 7.5 Гц (1H); т. 7.745 м. ч., 7.5 Гц, (1H); д. д. 7.618 м. ч., 7.5 Гц, 1.2 Гц (1H).

6-Бromoетил-6Н-індоло[2,3-*b*]-хіноксалін (22). Суміш 10.16 г (0.04 моль) 21 і 4.32 г (0.04 моль) о-фенілендіаміну розчиняють в оцтовій кислоті і кип'ятять при перемішуванні протягом 4 год. Після охолодження реакційної суміші випадає осад продукту. Його відфільтровують, промивають на фільтрі оцтовою кислотою 3 × 10 см³ та перекристалізовують із оцтової кислоти. Вихід: 78 % (10.2 г). C₁₆H₁₂BrN₃; M.W. 326.20. T_{пл.} = 169–170 °C R_f 0.60 (бензол — триетиламін 10:1), R_f 0.84 (хлороформ — ацетон 10:1). Mac-спектр — m/z (I, %): 328 (100), 326 (96) — M⁺; 220 (30); 90 (8); 60 (15); 45 (70); 43 (25). Спектр ПМР: аліфатичні СН тр. 3.863 м. ч., 7.2 Гц (2H, BrCH₂CH₂N); тр. 4.843 м. ч., 7.2 Гц (2H, BrCH₂CH₂N); ароматичні СН т. 7.386 м. ч., 7.5 Гц (1H); д. 7.523 м. ч., 8.1 Гц (1H); м. 7.662—7.791 м. ч. (3H); д. д. 8.132 м. ч., 8.4 Гц, 1.5 Гц (1H); д. д. 8.333 м. ч., 8.1 Гц, 1.5 Гц (1H); д. 8.503 м. ч., 7.5 Гц (1H).

(2-Індоло[2,3-*b*]хіноксалін-6-іл-етил)метиламін (13). До розчину 1 г (0.003 моль) 22 у диметилформаміді додають 1.2 см³ 33%-го водного розчину (0.012 моль, 0.4 г) метиламіну. Отриману реакційну суміш перемішують при кімнатній температурі протягом 18–20 годин. Хід реакції контролюють за ТШХ. Після закінчення реакції реакційну суміш випаровують досуха, сухий залишок промивають на фільтрі водою 3 × 10 см³ та висушують. Продукт очищують методом колонкової хроматографії: елюент — бензол-триетиламін (10:1), сорбент — силікагель. Вихід: 70 % (0.58 г). C₁₇H₁₆N₄; M.W. 276.34. T_{пл.} = 126–127 °C. R_f 0.15 (бензол — триетиламін 10:1); R_f 0.35 (бензол — триетиламін — метанол 10:1:1). Mac-спектр — m/z (I, %): 277 (100) — M⁺; 246 (27); 232 (52); 220 (54); 59 (15). Спектр ПМР: аліфатичні СН пошир. сигнал 1.550 м. ч. (1H, NHCH₃); с. 2.475 м. ч. (3H, NHCH₃); т. 3.162 м. ч., 6.8 Гц (2H, CH₂NHCH₃); т. 4.601 м. ч., 6.0 Гц (2H, CH₂CH₂NHCH₃); ароматичні СН т. 7.357 м. ч., 7.5 Гц (1H); д. 7.519 м. ч., 8.4 Гц (1H); м. 7.634–7.682 м. д. (2H); м. 7.708–7.751 м. ч. (1H); д. д. 8.119 м. ч., 8.0 Гц, 1.2 Гц (1H); д. д. 8.282 м. ч., 8.0 Гц, 1.2 Гц (1H); д. 8.455 м. д., 7.6 Гц (1H).

2-(2-Індоло[2,3-*b*]хіноксалін-6-іл-етиламіно)етанол (14). До розчину 1 г (0.003 моль) 22 у бензолі додають 0.57 см³ (0.58 г, 0.0096 моль) аміно-етанолу. Отриману реакційну суміш кип'ятять при перемішуванні протягом 10–12 годин. Хід реакції контролюють за ТШХ. Після закінчення реакції

(бензол — триетиламін 10:1), R_f 0.66 (бензол — триетиламін — метанол 10:1:1). Мас-спектр — m/z (I, %): 345 (100) — MH^+ ; 246 (12); 232 (17); 220 (20); 113 (24). Спектр ПМР: аліфатичні СН м. 0.933—1.321 м.ч. (6Н, $NHCH(CH_2CH_2)_2CH_2$); м. 1.481—1.978 м. ч., (4Н, $NHCH(CH_2CH_2)_2CH_2$); м. 2.508—2.605 м. ч. (1Н, $NHCH(CH_2CH_2)_2CH_2$); т. 3.209 м. ч., 6.9 Гц (2Н, $N_{ap}CH_2CH_2N$); т. 4.596 м. ч., 6.6 Гц (2Н, $N_{ap}CH_2CH_2N$); ароматичні СН т. 7.366 м. ч., 7.5 Гц (1Н); д. 7.543 м. ч., 8.1 Гц (1Н); м. 7.608—7.798 м. ч. (3Н); д. д. 8.127 м. ч., 7.8 Гц, 1.5 Гц (1Н); д. д. 8.301 м. ч., 8.1 Гц, 1.2 Гц, (1Н); д. 8.473 м. ч., 7.8 Гц (1Н).

Циклогексіл(2-індоло[2,3-*b*]хіноксалін-6-ілетил)метиламін (19). До розчину 0.7 г (0.002 моль) 18 в ацетоні додають 0.42 г (0.003 моль) карбонату калію та 0.12 см³ (0.28 г, 0.002 моль) йодистого метилу. Хід реакції контролюють за ТШХ. Після закінчення реакції неорганічний осад відфільтровують, на фільтрі промивають ацетоном 3 × 2 см³. Фільтрат випаровують, кубовий залишок розчиняють у бензолі (20 см³) та екстрагують водним розчином тіосульфату натрія (3 × 10 см³). Бензольний шар відокремлюють, сушать сульфатом натрію та випаровують. Кубовий залишок очищують методом колонкової хроматографії: елюент — бензол-триетиламін (10:1), сорбент — силікагель. Вихід: 86 % (0.61 г). $C_{23}H_{26}N_4$; M.W. 358.49. $T_{пл.}$ = 215—220 °C. R_f 0.55 (бензол — триетиламін 10:1), R_f 0.79 (бензол — триетиламін — метанол 10:1:1). Мас-спектр — m/z (I, %): 359 (100) — MH^+ ; 246 (8); 232 (6); 220 (8); 127 (12). Спектр ПМР: аліфатичні СН: м. 0.725—1.693 м. ч. (10Н, $NHCH(CH_2CH_2)_2CH_2$); м. 2.309 м. ч. (1Н, $NHCH(CH_2CH_2)_2CH_2$); с. 2.421 м. ч. (3Н, NCH_3); т. 2.917 м. ч., 7.2 Гц (2Н, $N_{ap}CH_2CH_2N$); т. 4.538 м. ч., 7.2 Гц (2Н, $N_{ap}CH_2CH_2N$); ароматичні СН: т. 7.343 м. ч., 7.2 Гц (1Н); д. 7.492 м. ч., 7.6 Гц; м. 7.623—7.745 м. ч. (3Н); д. д. 8.125 м. ч., 8.4 Гц, 1.2 Гц (1Н); д. д. 8.281 м. ч., 8.4 Гц, 1.2 Гц (1Н); д. 8.453 м. ч., 7.6 Гц (1Н).

Література

1. Патент України № 31885, C07D213/00, C07C209/00. 6-Аміноетил-6Н-індо-ло[2,3-*b*]хіноксаліни як противірусні агенти та індуктори інтерферонів. Шибінська М. О., Ляхов С. А., Андронаті С. А., Жолобак Н. М., Співак М. Я. Заявка № u200714028 від 13.12.2007. Опубл. 25.04.2008, Бюл. № 8.
2. Acute toxicity of several 6-aminoethyl-6h-indolo[2,3-*b*]quinoxaline derivatives / N. M. Zholobak, G. V. Antonovych, Z. M. Olevinska, M. O. Shibuska, N. A. Kuztuzova, S. A. Lyakhov, N. Ya. Spivak // Сучасні проблеми токсикології. — 2009. — Vol. 3—4. — P. 57—59.
3. Corwin H. Substituent Constants for Correlation Analysis in Chemistry and Biology / H. Corwin, A. Leo // New York: John Wiley & Sons Ltd. — 1979. — P. 178.
4. Leo A. Exploring QSAR, Hydrophobic, Electronic, and Steric Constants / A. Leo, D.H. Hoekman, C. Hansch // Washington, DC: American Chemical Society. — 1995.
5. Deichmann W. B. Determination of the approximate lethal dose with about six animals / W. B. Deichmann, T. J. LeBlanc // J. Indust. Hygiene Toxicol. — 1943. — Vol. 25. — P. 415—417.
6. Стефанов О. В. Доклінічні дослідження медичних засобів: Метод. реком. / О. В. Стефанов. — К.: Авіценна, 2001. — 365 с.
7. Calculate Approximate logP: <http://intro.bio.umb.edu/111-112/OLLM/111F98/jlogp/test.html>
8. Clark D. E. Rapid calculation of polar molecular surface area and its application to the prediction of transport phenomena. 2. Prediction of blood-brain barrier penetration / D. E. Clark // J. Pharm. Sci. — 1999. — V. 88, № 8. — P. 815—821.

Синтез нових аміноетиліндолохіноксалинів, їх гостра токсичність та SAR

9. Pajouhesh H. Medicinal chemical properties of successful central nervous system drugs / H. Pajouhesh, G.R. Lenz // J. Am. Soc. Exp. NeuroTher. — 2005. — V. 2, № 4. — P. 541—553.
10. Verma R.P. An approach toward the problem of outliers in QSAR / R. P. Verma, C. Hansch // Bioorg. Med. Chem. — 2005. — V. 13, № 15. — P. 4597—4621.

Н. А. Кутузова¹, М. О. Шибинская², С. А. Ляхов^{1, 2}

¹ Одесский национальный университет имени И. И. Мечникова,
ул. Дворянская, 2, Одесса, 65026, Украина

² Физико-химический институт им. А. В. Богатского НАН Украины,
Люстдорфская дорога, 86, Одесса, 65080, Украина

**СИНТЕЗ НОВЫХ АМИНОЭТИЛИНДОХИНОКСАЛИНОВ,
ИХ ОСТРАЯ ТОКСИЧНОСТЬ И SAR**

Резюме

В статье показан синтез новых производных 6-аминоэтилиндолохиноксалина, изучение их острой токсичности и связи «структура — свойства». Представленные результаты исследования острой токсичности и рассчитанные значения липофильности новых соединений подтвердили установленную ранее обратно пропорциональную зависимость острой токсичности соединений от их липофильности.

Ключевые слова: индолохиноксалины, противовирусные агенты, индукторы интерферона, липофильность, острая токсичность.

N. A. Kutuzova¹, M. O. Shibinskaya², S. A. Lyakhov^{1, 2}

¹ Odessa National I. I. Mechnikov University,
2 Dvoryanskaya Street, Odessa 65026, Ukraine

² A. V. Bogatsky Physico-Chemical Institute of NAS of Ukraine,
Lyustdorfskaya Doroga 86, Odessa, 65080, Ukraine

**SYNTHESIS OF NEW AMINOETHYLINDOLOQUINOXALINES,
THEIR ACUTE TOXICITY AND SAR**

Summary

The article describes the synthesis of new derivatives of 6-aminoethylindoloquinoxalines, study of their acute toxicity and QSAR. Results of acute toxicity and the calculated values of the lipophilicity for new compounds confirmed previously supposed negatively proportional dependence of compounds' acute toxicity from their lipophilicity.

Key words: indoloquinoxalines, antiviral agents, inducers interferon, lipophilicity, acute toxicity.